

II - 21 プランジャー造波機（円筒型造波体）による造波特性の研究

東大工戲養 正員 野田英明
京大大学院 学生員 大瀬信義

1) 総説

本研究は円筒体 plunger-type 造波機による生成波の特性を実験的に検討し、従来の理論的研究と比較することにより造波機そのものの性能を把握しようとするものである。深水における plunger 造波機の生成波の特性については、昨年度講演会で報告した。その後さらに詳細な実験をもち浅水における生成波について、とくに円筒型 plunger の半径および振巾を変化することによって生成波に与える影響を検討し若干の実験結果をえた。

実験装置は長さ 24 m、中 0.5 m の両面ガラス張り水槽を用い、水深は 0.6 m と一定とした。先の一端に取付けた plunger 造波機の円筒の半径は 25, 20, 16 cm の 3 種を用い、造波機の振巾は約 1 cm まで、周期は 0.9~1.20 秒まで連続的に変化させることができる構造とした。波高は造波機から 4, 10 m の距離で電気抵抗式波高計を用いて Pen-Oscillographic 記録した。

一般に実験水槽で用いる代表的な造波機の種類としては、Flutter type, Piston type, Plunger type および Pneumatic type 等がある。これら中 Flutter type および Piston type の造波機については、Biesel, Squire および Ursell, Y.S.Yu をはじめとして多くの人々によって従来からかなり詳しく研究されおり、それなりに生成波の特性は比較的簡単に数式化できる。しかし、Plunger type 造波機については、その構造上の利点から近年かなり実用化されていくにもかかわらず、その生成波の特性については十分に検討されていないようである。数少ない研究の中では、田井は、Plunger の形を三角形や船型などに変化させることにより生成波に及ぼす影響を解明している。また Ursell および Y.S.Yu は、半円筒体の plunger が水面で heaving するとき、水面波などのように変動するかを元素的に考察している。彼らはまず運動を微小振巾であるとして、流体は非粘性、非圧縮性であり、エリに流体の運動は非回転つまり Potential flow であると仮定して水面の変動を取り扱っている。しかし、この場合の速度 Potential は簡単な形ではなく、Flutter type や Piston type のように波形を簡単な数式に表すことができない。ただ

$H_2L = f(2\pi a/L, H/L)$ のように Plunger の振巾の 2 倍に対する生成波高の比 H_2L が $2\pi a/L$ の関数として表示されることがわかる。ここで H は生成波高、 L は plunger の振巾、 a は円筒体の半径、 h は水深であり L は沖波の波長を表す。Ursell らは、この関係について実験を行ない理論値と比較検討している。著者らも、この H_2L と $2\pi a/L$ について実験を行なったが、その結果について以下説明する。

2) 実験結果とその考察

図-1 は $H_2L = f(H/a)(a/L)$ の関係から H/a が 0 から無限水深の場合の著者らの実験結果を Plot したもので、実線は Ursell による無限水深の場合の理論曲線である。ここで円筒体の半径に対する水深の比 H/a が 10 以上になると上の関係から近似的に $H/a \rightarrow \infty$ となる。この実験では $a = 6.0$ cm で $L = 20, 22.5, 15, 10.5, 6.0$ cm の振巾を変化させた場合を示す。この図から分かるように $L = 3.0$ cm の場合

は、 $2\pi\%_0$ の値が0~0.39で、理論値と実験値はよく一致しているが、 $2\pi\%_0 > 0.4$ では実験値の方がかなり小さく、さらには $2\pi\%_0 > 1.0$ では波高がsteadyではなく時間的変化がはげしく一様な波高の波はえられない。 $L=2.25, 1.5, 0.93, 0.5$ cmとPlungerの振巾を小さくしていくにしたがって波高がsteadyでなくなる限界は、それまで $2\pi\%_0 = 1.2, 1.5, 2.0, 2.2$ と順次大きくなっている。また $2\pi\%_0$ がある値以上になると $H_{1/2c}$ がそれまで理論曲線からはずれ激しく小さくなる傾向は $L=2.0$ cmの場合と同じである。

図-2は有限水深の場合における著者らの実験結果の一例を示したもので、 $\eta_a=2.4, 3.0$ の2caseが示してある。実線はUrsellによると $\eta_a=2$ および4に対する理論曲線を示す。著者らの実験では、 $\alpha=25, 20$ cmの2種の円筒体を用い、それそれに応じて $L=2.5, 1.5$ cmと変化させている。この実験結果も無限水深の場合と同じ傾向を示しているが、 $2\pi\%_0$ がある値以上になると波高の急激な減少がみられる。しかし実験値のちうばりが大きく、十分資料が整っていない現状、実験を続行中であり、有限水深の場合の結果は講演時に發表したい。

しかし、これらの中からみられる傾向を示すと、

η_a の値を一定としたUrsellの結果では、 η_a は $2\pi\%_0$ のみの函数となり、一つの理論曲線がえられ、他の実験結果も理論値とよく一致しているが、著者らの実験によると上に示したように、たとえ η_a の値を一定にしても η_a の値はPlungerの振巾によって明らかに異なっていき。これは無限水深、有限水深いずれの場合も同様である。つまり η_a の値を一定にしておいて振巾が小さくなるにしたがって、 η_a が変更する $2\pi\%_0$ の値はだんだん大きくなっている。このことはPlungerの振巾の大きさそのものが、Plunger-type造波片の生成波に影響を及ぼしていることを示している。また、その他の種々の要因も考えられるが、オーバーランレート $H_{1/2c}/L=0.12$ となる碎波限界を同じ図に $2\pi\%_0$ をparameterとしてplotすると点線のようになる。これから、著者らの実験値はほぼこの碎波限界にそって漸減する傾向がある。Ursell本Plunger運動が微小振巾であるとして水面変動を取扱っていいる。また、他の実験結果も微小振巾と考えられる範囲内にあるが、著者らの実験範囲はむしろむしろ微小振巾と考えることはできない。したがってその限界もまだ詳細に考察しなければならない。これについては現在資料がないのでPlungerの振巾と水深との比 $2\pi\%_0$ の値の軸を示してあるが、振巾そのもののがもつ意味を完明百百化めにも、碎波限界附近の水粒子の運動特徴をも十分に検討するここと成障壁であろう。

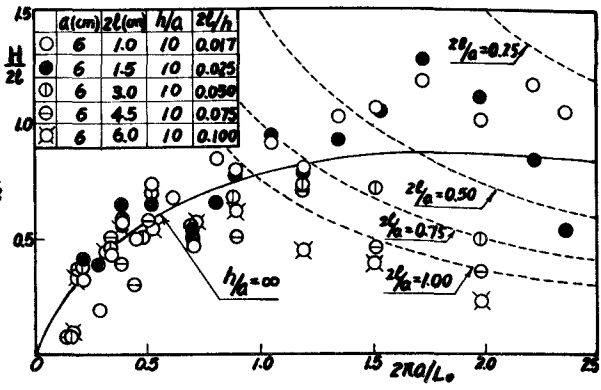


図-1 $2\pi/L_0$ と η_a^2/L_0 の関係(深水波)

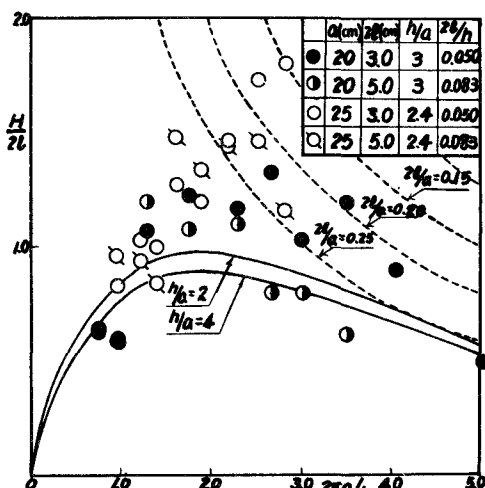


図-2 $2\pi/L_0$ と η_a^2/L_0 の関係(浅水波)